

图谱论导引(第十四期)

强正则图拾遗

Paley图

实际上, 原书自此章起方初次介绍强正则图. 其第一则例子系Paley图, 构造如下: 取有限域 F_q 使得 $q \equiv 1 \pmod 4$, 默认顶点集即 F_q . $i \sim j$ 若且仅若 $i - j$ 为某 F_q 中数一数的平方, 例如 $1 \sim 2$. 通常记Paley图为 $P(q)$, 其中 q 为域的阶.

首先应当验证Paley图系简单图, 即 -1 为 F_q 中平方元. 取乘法生成元 $w \in F_q^*$, 显然 $w^{(q-1)/4}$ 平方为 -1 . 其次, 考虑群 (F_q^*, \cdot) 上的乘法同态

$$\pi : F_q^* \rightarrow (F_q^*)^2, x \mapsto x^2$$

可知 $\ker \pi = \{\pm 1\}$, 故 F_q^* 中半数为平方数. 故 $P(q)$ 为度为 $\frac{q-1}{2}$ 的正则图. 证明 $P(q)$ 强正则性之际, 先介绍若干性质:

强对称性, 即对任意 $x, y \in V(P(q))$, 存在自同构 ϕ 使得 $\phi(x) = y$. 对任意 $(x_1, x_2), (y_1, y_2) \in E(P(q))$, 存在自同构 π 使得 $\pi((x_1, x_2)) = (y_1, y_2)$. 证明如下:

1. 点的强对称性: 可作函数 $\phi : x \mapsto ax + b$, 其中 a 为 F_q 中平方数. 显然 ϕ 为双射. 同时, $x_1 - x_2$ 为平方数若且仅若 $\phi(x_1) - \phi(x_2)$ 亦为平方数. 故 ϕ 为自同构.
2. 边的强对称性: 沿用上一证明中的同构 ϕ , 取 $a = (x_2 - y_2)(x_1 - y_1)^{-1}$, $bx_2 - ax_1$ 即可.

自补性(self-complementary), 即 $P(q)$ 与 $\overline{P(q)}$ 同构. 取 F_q 中非平方元 r , 作映射 $f : x \mapsto rx$ 即可. 作为推论, $P(q)$ 连通.

强正则性. 特别地, $P(q)$ 系数为

$$(n, k, \lambda, \mu) = \left(q, \frac{q-1}{2}, \frac{q-5}{4}, \frac{q-1}{4} \right).$$

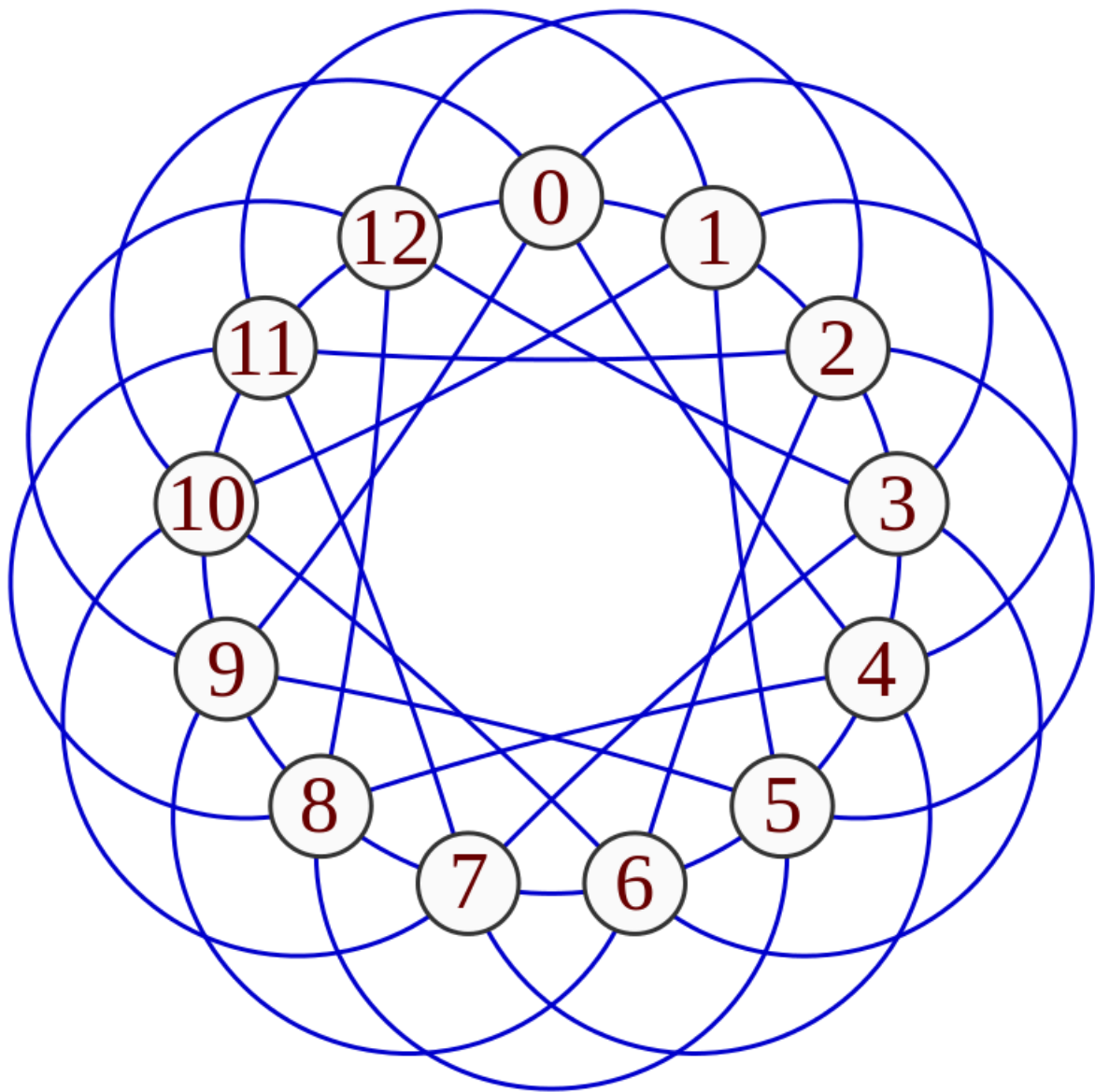
上文已证明 $k = \frac{q-1}{2}$. 下选定 $x \in V(P(q))$, 记 $A = N(x)$, $B = V(P(q)) \setminus (A \cup \{x\})$. 由于对称性, 不妨设对任意 $y \in A$, $|N(y) \cap B| = l$. 由于 $P(q)$ 自互补, 故对任意 $z \in B$, $|[V(P(q)) \setminus N(z)] \cap A| = l$.

下通过两种方式计算 $|A||B|$.

1. $|A| = k = \frac{q-1}{2}$, $|B| = q - k - 1 = \frac{q-1}{2}$, 从而 $|A||B| = \left(\frac{q-1}{2}\right)^2$.
2. $|A||B| = |\{(a, b) \in A \times B : a \sim b\}| + |\{(a, b) \in A \times B : a \not\sim b\}|$. 其中 $|\{(a, b) \in A \times B : a \sim b\}| = \frac{q-1}{2}l$, $|\{(a, b) \in A \times B : a \not\sim b\}| = \frac{q-1}{2}l$.

相加得 $\left(\frac{q-1}{2}\right)^2 = (q-1)l$, 故 $l = \frac{q-1}{4}$. 从而 $\lambda = |N(y) \cap A| = \frac{q-5}{4}$,

$\mu = |N(y) \cap A| = \frac{q-1}{4}$. 例如, $P(13)$ 如下.



据先前结论, Paley图之谱为

$$\left(\frac{q-1}{2}^{(1)}, \frac{-1-\sqrt{q}}{2}^{\left(\frac{q-1}{2}\right)}, \frac{-1+\sqrt{q}}{2}^{\left(\frac{q-1}{2}\right)} \right)$$

Paley图之直径为2, 因为不存在两两不邻的三个点.

称联络图(conference graph)为一类以 $(n, \frac{n-1}{2}, \frac{n-5}{4}, \frac{n-1}{4})$ 为系数的强正则图, 以现有之成果暂时无法一一隅举之, 不过, Paley图显然为联络图.

关于强正则图的若干结论

强正则图 G 以 (n, r, λ, μ) 为系数, 则以下两则结论有且仅有一者成立.

1. G 为联络图.
2. G 的特征值均为整数且 $(\lambda - \mu)^2 + 4(r - \mu) = (\theta - \tau)^2$, 其中 θ 与 τ 为非主特征值.

证明容易, 此处从略.

对 n 上界有如下不等式:

$$n \leq \min \left\{ \frac{m_\tau(m_\tau + 3)}{2}, \frac{m_\theta(m_\theta + 3)}{2} \right\}.$$

记 P 为将 \mathbb{R}^n 投影至 $\ker(\tau I - A)$ 的算子, 由 $A^2 + (\mu - \lambda)A + (\mu - r)I = \mu J$ 可知 $P = \alpha I + \beta A + \gamma(J - I - A)$. 计算得

$$P = \frac{m_\tau}{n}I + \frac{m_\tau\mu}{nr}A + \frac{-m_\tau(\mu+1)}{n(n-m_\tau-1)}(J-I-A).$$

记 $P = H^T H$, 其中 $H_{k \times n} = (h_1, h_2, \dots, h_n)$, 则

$$h_i^T h_j = \begin{cases} \alpha, i = j \\ \beta, i \sim j. \\ \gamma, i \approx j \end{cases}$$

记 Ω 为 \mathbb{R}^k 上的球面 $\partial B(0, \alpha)$, 记函数 $f_i : \Omega \rightarrow \mathbb{R}$, 其中

$$f_i(x) = \frac{(h_i^T x - \beta)(h_i^T x - \gamma)}{(\alpha - \beta)(\alpha - \gamma)}.$$

显然 $f_i \in V_1 \oplus V_2$, 其中 V_1 为一切 $\Omega \rightarrow \mathbb{R}$ 的线性函数, V_2 为一切二次型. 由于 f_1 至 f_n 线性独立, 则

$$n \leq \dim(V_1 \oplus V_2) = m_\tau + (m_\tau + \binom{m_\tau}{2}) = \frac{m_\tau(m_\tau + 3)}{2}.$$

同理, $n \leq \frac{m_\theta(m_\theta + 3)}{2}$.

Rank-3图

回顾群作用 $G \times X \rightarrow X, (g, x) \mapsto gx$, 记群作用

$$\begin{aligned} G \times X &\rightarrow X \\ g \cdot x &\mapsto gx \end{aligned}$$

称对任意 $x \in X, Gx := \{gx : g \in G\}$ 为一条 G -轨道. 由于所有轨道自然表示了 X 的某一划分, 划分数量为1若且仅若 G -轨道数为1, 即对任意 $c \in X$ 都有 $Gx = X$: 此时群作用可迁. 对 $A \subset X, A$ 保守若且仅若 $gA := \{gx : x \in A\} = A$ 对任意 $g \in G$ 成立.

现考虑群作用

$$\begin{aligned} G \times (X \times X) &\rightarrow (X \times X) \\ g(x, y) &\mapsto (gx, gy) \end{aligned}$$

当 $G \times X$ 可迁时, $G \times (X \times X)$ 的轨道条数称为作用的秩. 下将研究一类秩为3的作用. 首先, $D := \{(x, x) : x \in X\}$ 为一条轨道, 记 E, F 为剩余两条轨道. 若 E 对称, 则 F 亦然; 反之若 $(x, y) \in E$ 而 $(y, x) \in F$, 由于 $G(x, y) \cup G(y, x) \cup D = G$, 从而 $G(x, y) = E$, 即 $F = \{(x, y) : (y, x) \in E\}$ 与 E 互补. 注意到 (X, E) 与 (X, F) 为一对互补的强正则图, E 与 F 为单一轨道, 从而 G 给出了 (X, E) 的自同构群.

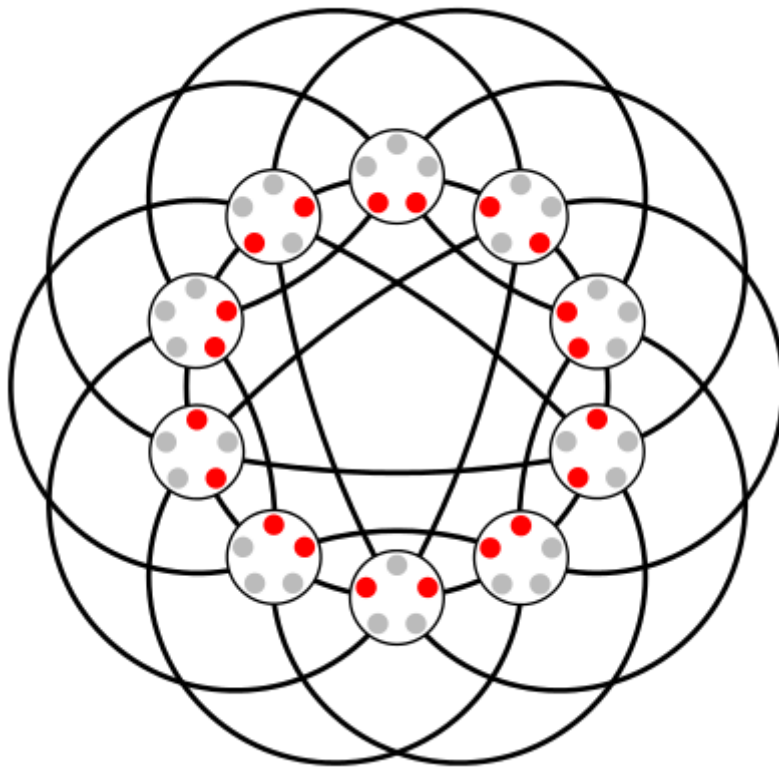
Johnson图

记 X 为集合, d 为自然数. Johnson图 $J(X, d)$ 之顶点与 $\binom{|X|}{d}$ 个 d 元子集相对应, 两顶点相连若且仅若其对应之集合 D, F 满足 $|D \cap F| = d - 1$. 不妨设 $|X| \geq 2d$, 不相交集对应点之距离为 d , 从而 $J(X, d)$ 直径为 d ; 同理 $2d \leq |X|$ 时直径为 $|X| - d$, 从而 $J(X, d)$ 之直径为 $\min(d, |X| - d)$.

Johnson图 $J(X, d)$ 在群 $S(X)$ 之作用下生成 $d + 1$ 条轨道(包含对角轨道). 下一期文章将证明以下结论: 当 $d \geq 2$ 时有

1. 若 $2d < |X|$, 则 $\text{Aut}(J(X, d)) \cong S(X)$.
2. 若 $2d = |X|$, 则 $\text{Aut}(J(X, d)) \cong S(X) \times \mathbb{Z}_2$.

特殊地, $J(n, 2) = L(K_n)$, 从而 $\text{Aut}(J(n, 2)) \cong S_n$. 以下为Johnson图 $J(5, 2)$.



Hammin图

设 X 为集合, X^d 为 d 个 X 的直积. Hamming图 $H(d, X)$ 之顶点对应数组 (a_1, a_2, \dots, a_d) , 其中诸 $a_i \in X$. 顶点 (a_1, \dots, a_d) 与 (b_1, \dots, b_d) 相邻若且仅若有且仅有一个 i 使得 $a_i \neq b_i$. 特殊地, $H(2, X)$ 为格点图(Lattice graph), $H(d, 2)$ 为 d 维立方体. 端详Hamming图之定义即可知其与信息科学中应用广泛. 下图为 $H(3, 3)$.

